

Antena bocina cónica corrugada**Área:** Comunicaciones**Autores:** Ing. J.V. Bava, Ing. E.J. Sanz

Instituto Argentino de Radioastronomía.

Introducción

La antena bocina es una antena de forma cilíndrica y con filos de características similares a los lábulos de centro e iluminación y redondeo en la apertura; figura 1a) que es motivo de numerosos trabajos. La llamada bocina corrugada (corrugated conical horn) es la mejor solución de la anterioridad.

Este alegamiento no resulta en una antena con bajos lábulos laterales, diágrafo de iluminación uniforme en su lábulo principal y rotacionalmente simétrico, funcionamiento en ancho de banda relativamente grande y una buena definición del centro de fase.

Retrasa primera vez que se publicó el uso de este bocina en numerosas aplicaciones. En el año 1966 con la ayuda de un polarímetro para estabilizar rápidamente el ancho en el continuo se ha desarrollado en el presente trabajo.

Diseño

Los mecanismos de iluminación se basan sobre el campo eléctrico u en una forma de campo de tipo vía (fig. 1).

En particular, en la figura 2a) se muestra la forma de campo causada por el rayo difractado en la superficie del diafragma, figura 2b) muestra que el campo propagado y difractado no produce condic平ones importantes en el diágrafo de iluminación. Por lo tanto si se logran buenas condiciones de iluminación en los bordes en el plano E, se reducen los lábulos laterales y se obtienen diágrafos de radiación iguales en los planos F y H.

Un método para controlar la contribución en el plano H, se logra produciendo una superficie corrugada en los laterales de la bocina mediante aletas como se observa en la fig. 2.

Estas aletas que forman la superficie corrugada sirven para reducir el rayo de difracción paralelo a la superficie interna de la bocina. Este efecto se logra construyendo las aletas con características rítmicas armónicas ($\lambda/2 \leq d \leq c/4$) en el plano H de la bocina. Varios trabajos realizados sobre modelos de este tipo de bocina describen procedimientos gráficos que permiten ser usados como guía de diseño.

Modelos de diseño

Para el diseño perturbado de bocinas es necesario el diseño de un alimentador primario para iluminar de modo uniforme la configuración como en este caso, es decir, una superficie plana en la que se aplica la relación Distancia Focal/largo focal, que es menor que cuando el nivel de iluminación deseado es bajo.

Los gráficos que se presentan en este trabajo sirven como guía de diseño para lograr situar las perturbaciones mencionadas. El ancho en longitud óptima de las aletas armónicas, estimado por el gráfico, es de 0,5 veces el ancho de la onda de propagación $\lambda_{1/2}$. El valor del ancho óptimo de las aletas es necesario para lograr un nivel de iluminación deseado en la superficie bocina, que calculado con la ayuda del gráfico, es de 0,75, usando la relación F/D como parámetro ($0,75 < F/D < 1,0$).

El comportamiento de los resultados depende mucho de mucho ancho de la onda relativamente grande las características deben ser: a) una densidad de dos a cuatro aletas por longitud de onda, b) una profundidad de del orden de 0,4 de la longitud de onda de la frecuencia central, c) ancho de perfil de la aleta no más que $\frac{1}{54T}$ ma-

yores de 0,8. Estos son buenos valores de compromiso si se desea lograr un diseño con las condiciones generales citadas.

El centro de fase de este tipo de bocina se encuentra ubicado cercano al centro de la caja de onda circular. Debido a la presencia de la apertura cortocircuitada se reduce la iluminación directa de los bordes en el plano F y consecuentemente el mecanismo de radiación se pone en la caja plana L, por lo tanto los centros de fase de los planos F y L coinciden.

El efecto de la iluminación directa en esta bocina puede ser estimado a través de la eficiencia del radiador. La eficiencia es la relación entre los radios normalizados, que se obtienen multiplicando el factor de absorción por el factor de radiación. La eficiencia de la bocina es menor que el factor de absorción en la dirección de bocina θ_0 normales a la superficie $\Delta\theta = \Delta\theta_0$.

$$\Delta = \frac{J_{\theta_0}}{J_{\theta_0} + J_{\theta_0 - \Delta\theta}}$$

Resumen

Se han presentado y demostrado tres tipos de alimentadores cuyo diámetro de transmisión es menor que el diámetro de la que han sido medicos con un diseño completamente basado en los ejes de polarización (horizontal) y vertical, a una frecuencia de 1435 MHz.

Tanto el diseño como el análisis están basados por la junta. El diseño de la antena alimentadora está acoplado y que permite separar la radiación en las direcciones mencionadas. El valor del factor de absorción es menor que el factor de banda requerido en 5%.

Este diseño es adecuado para aplicaciones paralelas con relación a la dirección de propagación en la cuadra estenuada aproximadamente 10 cm.

Agradecimientos

Se agradece la colaboración del personal del IAR y principalmente al Sr. C. G. Feidrich, lo mismo que al Ing. Trainotti y su equipo de la División de Física de CITIFIA, por su contribución en las medidas de los claramantes de irradiación.

Referencias

- (1) A.W. Love, *Electromagnetic Horn Antennas*, Part IV, IELI Press, 1937.
- A.J. Belmont and R.M. Fay, The scalar feed IELI Conf. Publ. 21, 1966.
- H.L. Hawrie and L. Peters J.R., Modifications of horn antennas for low noise levels, CII Proc. Propagat. Antennas, Sept., 1968.
- Carl M. Mentzer and Leon Peters J.R., Properties of cutoff corrugated horn antennas, Proc. IRE, Vol. 57, No. 1, Jan., 1969.
- (2) A.W. Love, *Electromagnetic Horns*, 1937.
- H.L. Hawrie, L. Peters J.R., The effect of "cutoff" on horn antenna which contain "corrugations", Proc. Roy. Micro. Soc., London, July, 1968.
- (3) L. Peters J.R., The effect of "cutoff" on horn antennas, and Q.E.D., March 1969.
- (4) Harry J. Kueker, Personal communication, 1969.
- L. Peters J.R., unpublished data and personal technical discussions.

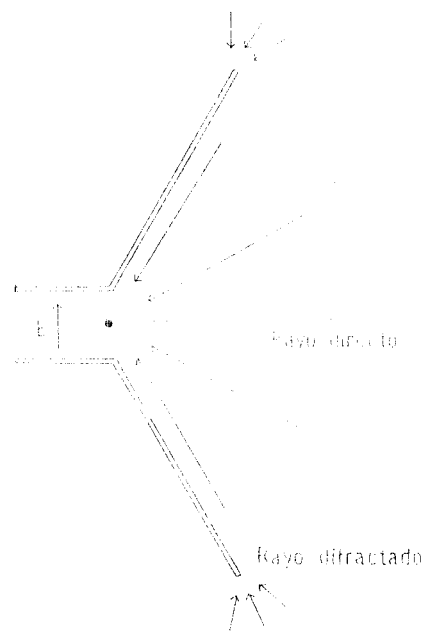


Fig. 1

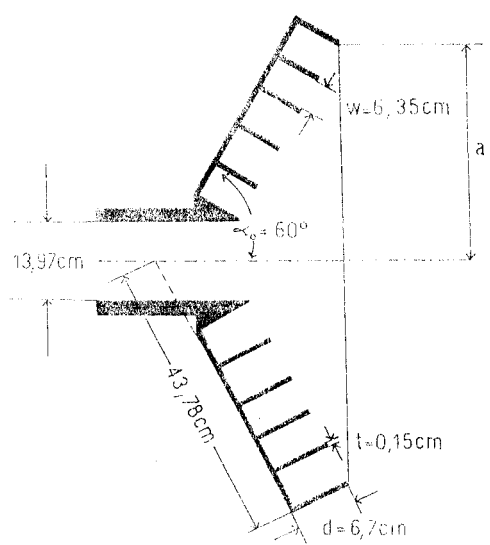


Fig. 2

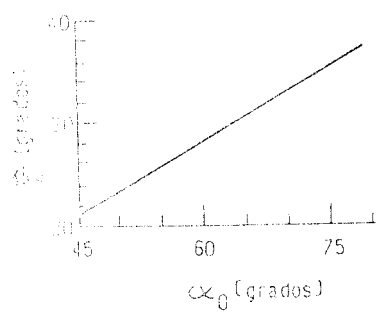


Fig. 3

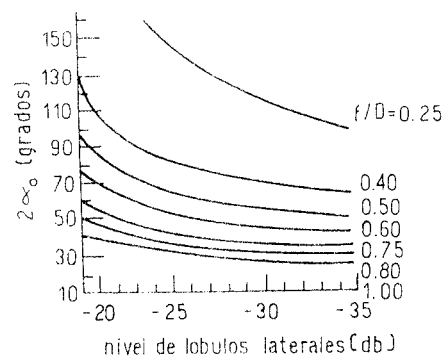


Fig. 4

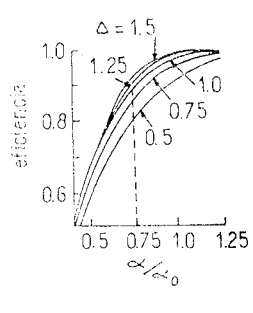


Fig. 5

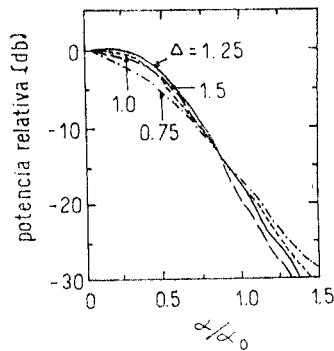


Fig. 6

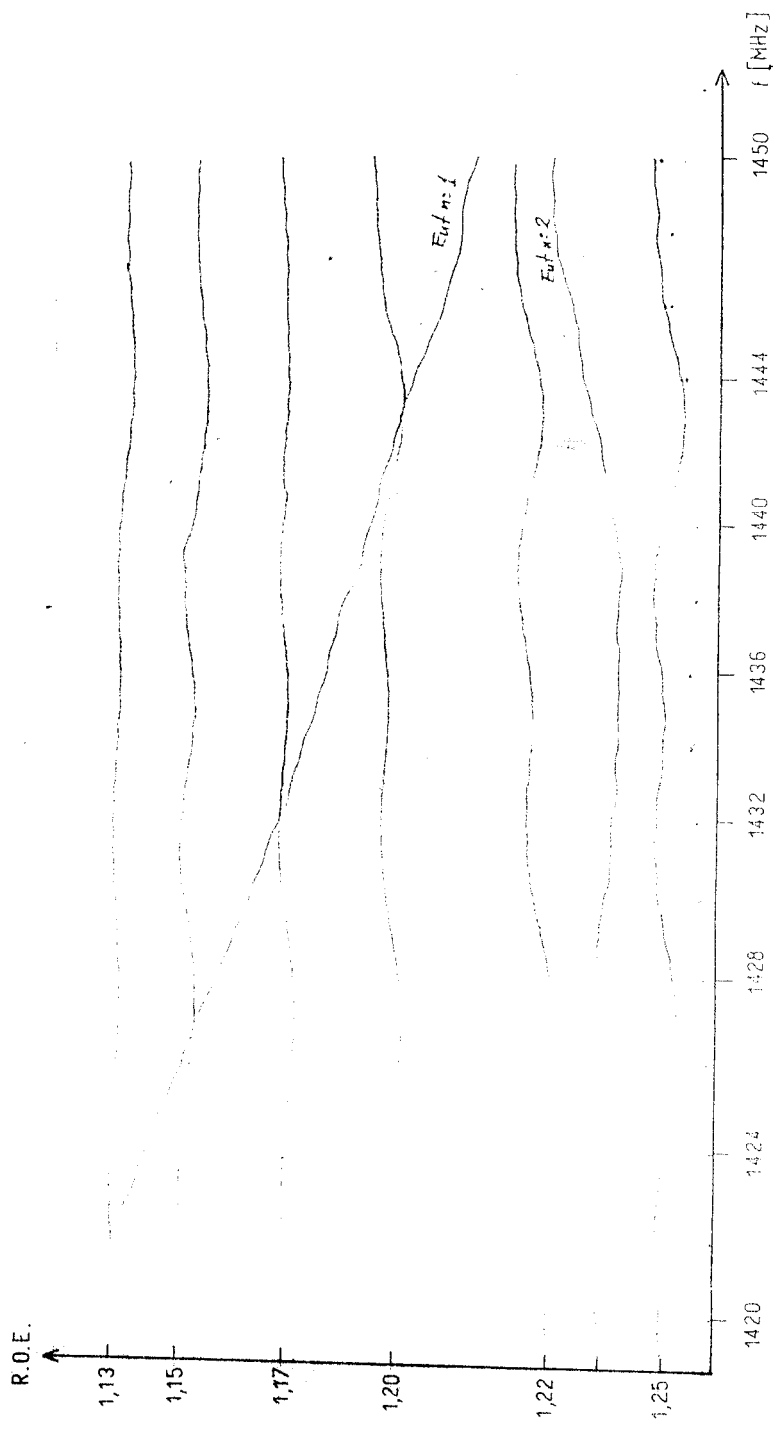
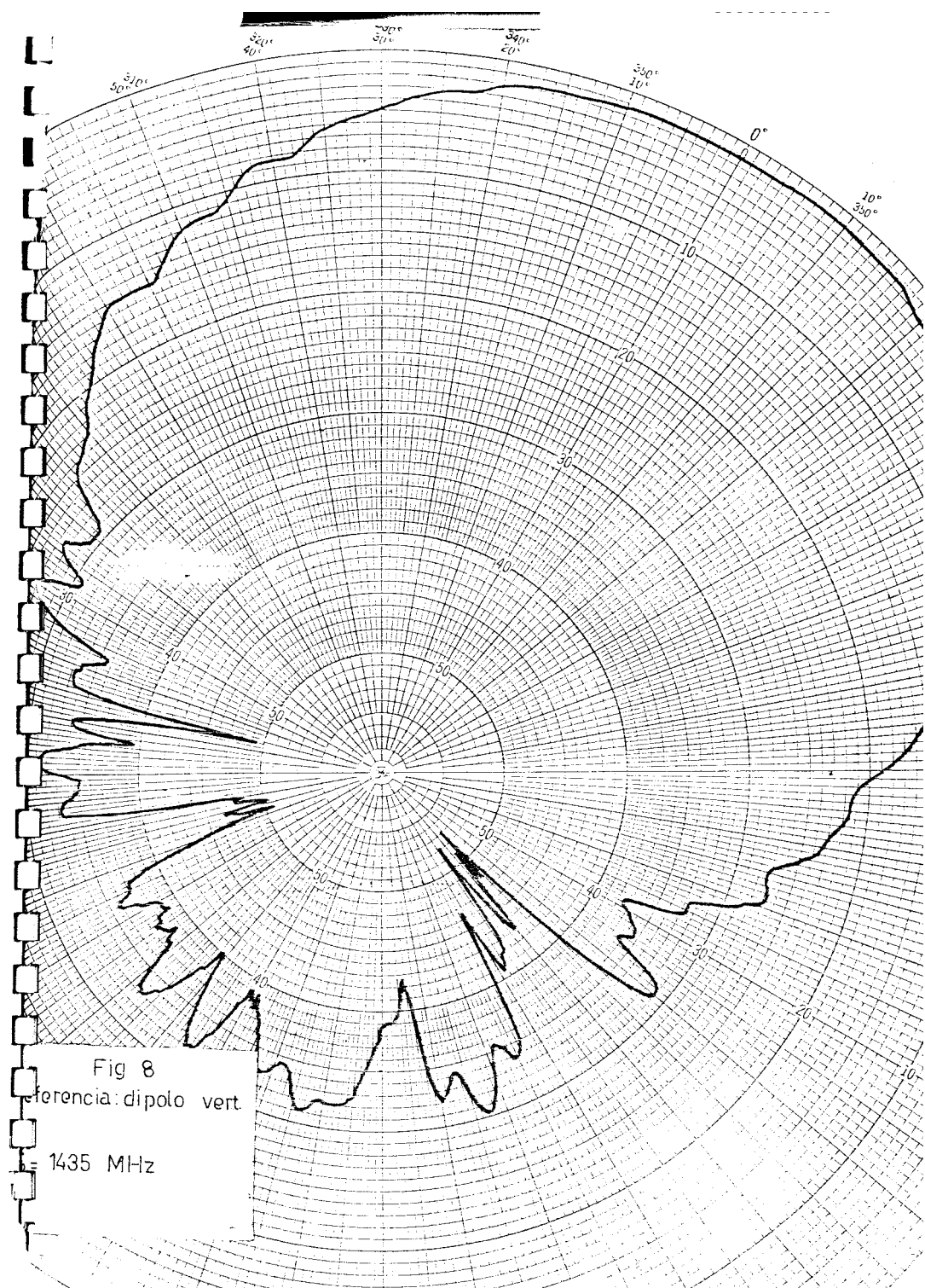


Fig. 7



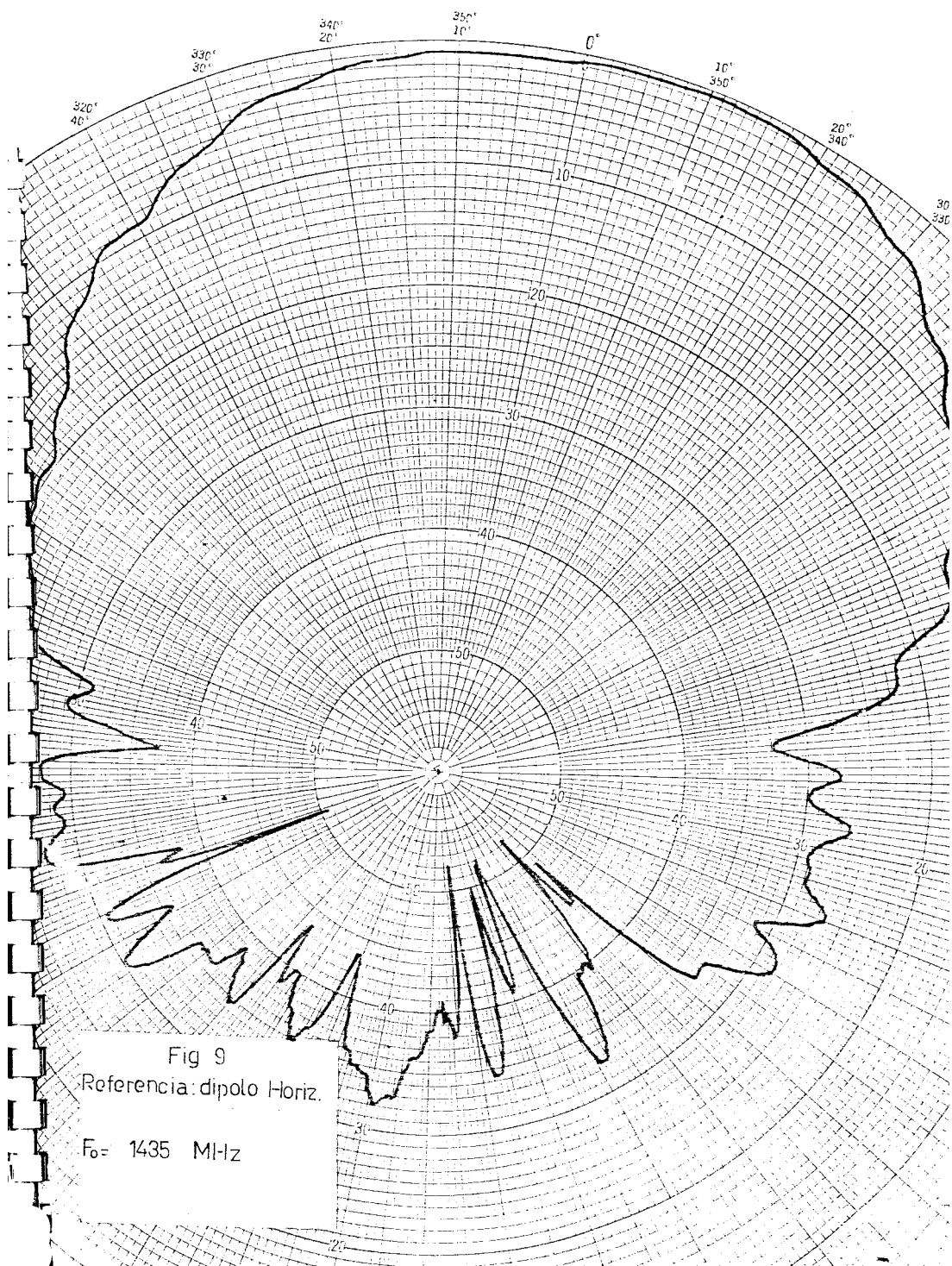


Fig.10

RAMA A } Deteccion de las componentes de polarizacion
RAMA B } circular izquierda y derecha

Ancho de banda de pre deteccion = 20 MHz

Cte. de tiempo de post deteccion = 0.15 seg.

Escala del registro = E = 45 minuto de arco/cm

Declinacion de la antena = $\delta = 34,867^\circ$

Angulo potencia mitad medido = $\alpha_{[cm]} \approx 0,95\text{cm}$

$$\alpha = \alpha_{[cm]} \times E \times \cos \delta = 35 \text{ minuto de arco}$$

